



HÖGSKOLAN
I SKÖVDE

Institutionen för ingenjörsvetenskap

TENTAMEN

Kurs: Strömningslära

Delkurs

Kurskod: FY302G

Högskolepoäng för tentamen: 2 hp

Datum: 2023-09-22

Skrivtid: 08.15 – 12.30

Ansvarig lärare: Krister Karlsson

Berörda lärare: Ola Nyqvist 0500-448609

Hjälpmittel/bilagor

Bifogat formelblad "Formelblad – Strömningslära FY302G". Egen räknedosa och linjal. Utdrag ur tabeller delas ut. Ring läraren vid frågor. Provformuläret ska lämnas in.

Anvisningar

- Ta nytt blad för varje lärare
- Ta nytt blad för varje ny fråga
- Skriv endast på en sida av papperet.
- Skriv namn och personnummer på samtliga inlämnade blad.
- Numrera lösläden löpande.
- Använd inte röd penna.
- Markera med kryss på omslaget vilka uppgifter som är lösta.

Tentamen omfattar sex problem och bedöms med U, G eller VG. Se dokumentet Betygskriterier.

Skrivningsresultat bör offentliggöras inom 18 arbetsdagar

Lycka till!

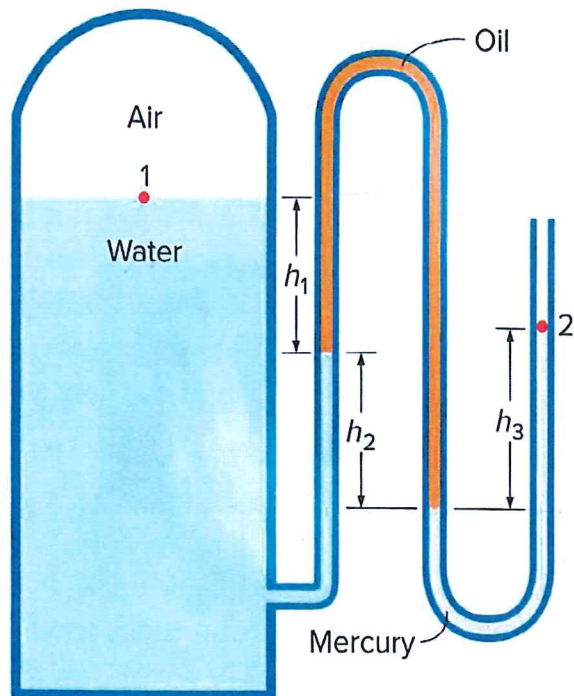
Antal sidor totalt

1

Basuppgift – statiskt tryck

Man vill mäta trycket i den slutna tanken med en så kallad multi-manometer enligt figuren nedan. Densiteten för oljan är 850 kg/m^3 och densiteten för kvicksilver är 13600 kg/m^3 . Vidare är $h_1 = 0.1$ meter, $h_2 = 2h_1$ och $h_3 = 3.5h_1$. Normalt lufttryck råder i röret vid punkt 2.

Bestäm övertrycket av luften (air) i den slutna tanken.

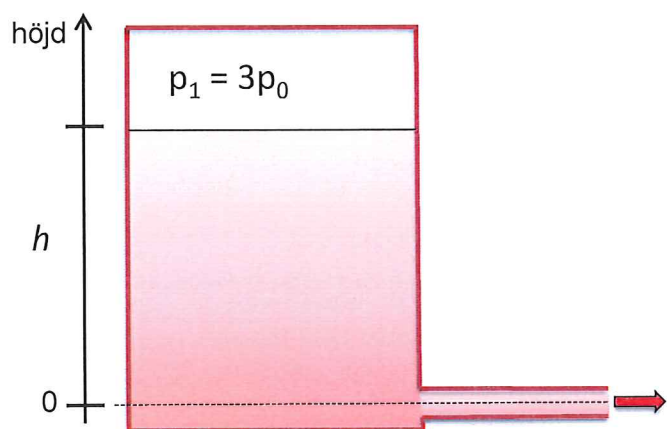


2

Basuppgift – Bernoullis ekvation

En stor trycksatt slutet tank med vatten tappas ur via rörsystemet enligt figuren. Antag förlustfri strömning och beräkna:

Volymsflödet i röret när nivån i tanken är $h = 5 \text{ m}$ (se figuren nedan) om det råder normalt lufttryck $p_0 = 100 \text{ kPa}$ vid utloppet och rörets diameter är 5 cm.



3 Basuppgift - rörströmning

En stor sluten oljetank (med övertryck) är via ett 10 m långt rör med diametern 5 cm kopplad till en annan stor öppen tank enligt figuren. Massflödet är stationärt och vi tar hänsyn till friktion och engångsförluster med följande data:

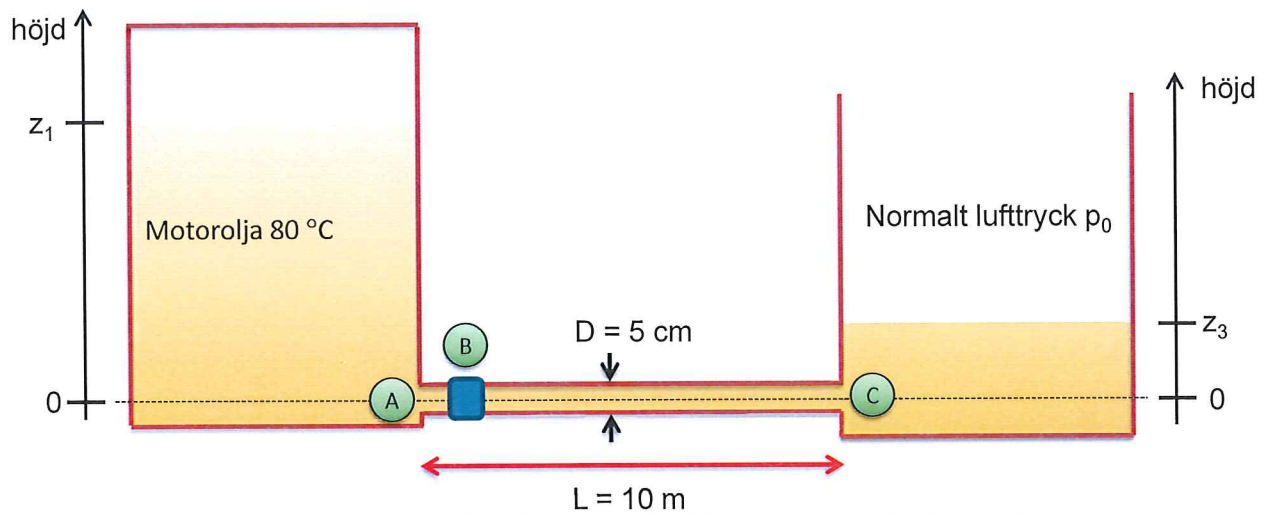
Rörmaterialet: $\epsilon = 0.05 \text{ mm}$ (handelsstål)

Röringång (A) $K_L = 0.5$

Halvöppen ventil (B) $K_L = 2.1$

Rörutlopp (C) $K_L = \alpha$ med $\alpha = 1.06$ vid turbulent respektive $\alpha = 2$ vid laminär strömning.

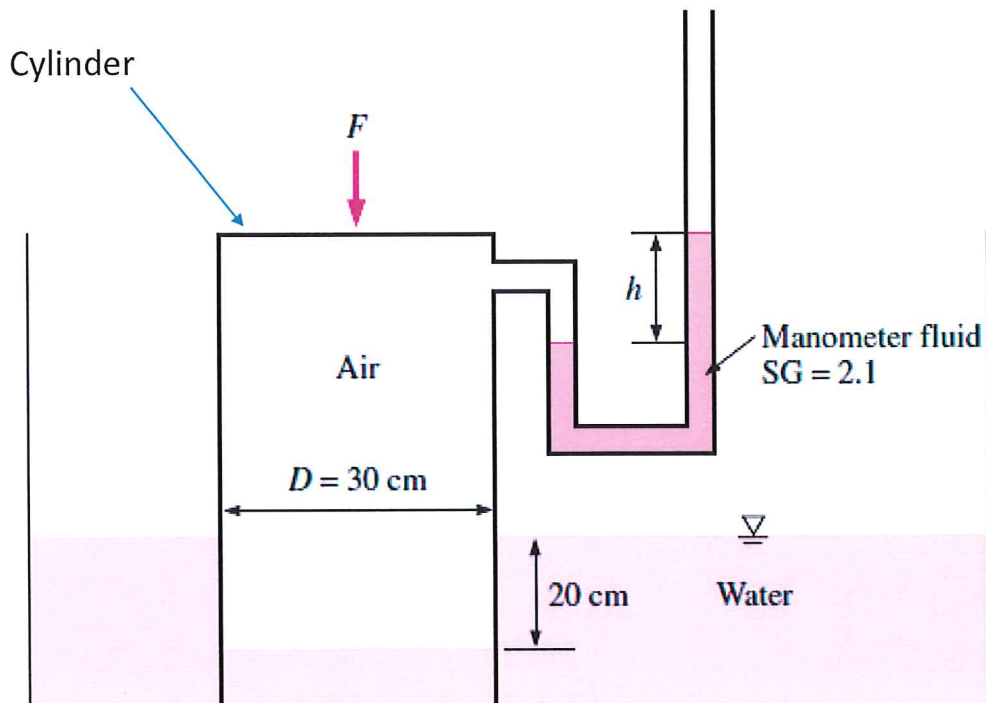
Antag höjdskillnaden $z_1 - z_3 = 8.5 \text{ meter}$, motoroljans temperatur är 80°C och medelhastigheten i röret är 8 m/s . Bestäm då övertrycket i den slutna vänstra tanken.



4

En cylindrisk behållare med diametern 30 cm trycks ned 20 cm i vattnet såsom figuren visar. Påkopplad på cylindern är en manometer vars vätska har en densitet som är 2.1 gånger större än vattendensiteten.

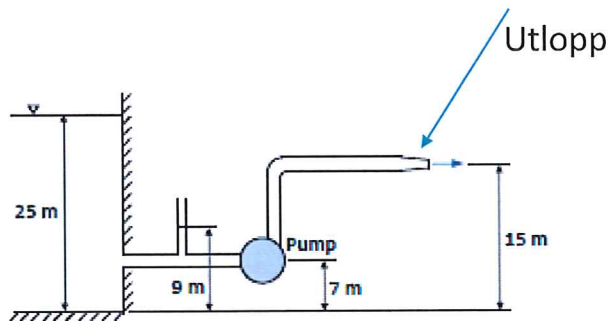
- Bestäm h .
- Bestäm kraften F som behövs för att systemet skall vara i jämvikt (vila). Antag att systemet (cylinder och manometer) har massan 7.9 kilogram.



5

Pumpen i figuren ger en volymströmning i systemet på 0.005 kubikmeter per sekund. Rörets area är konstant, förutom vid utloppet (munstycke) där arean halveras. Pumpens verkningsgrad är 0.7. Försumma all friktion och beräkna pumpens effekt.

Ledning: Notera att vattnet stiger 2 meter i det påkopplade vertikala stigröret vilket ger Dig trycket.



6

Bestäm den maximala sughöjden för att kavitation (bubbelbildning) inte skall inträffa i en pump med följande data:

Vattentemperatur 32.2 grader Celsius (förångningstrycket vid denna temperatur är 0.048 bar)

Densiteten för vatten 995 kg/m^3

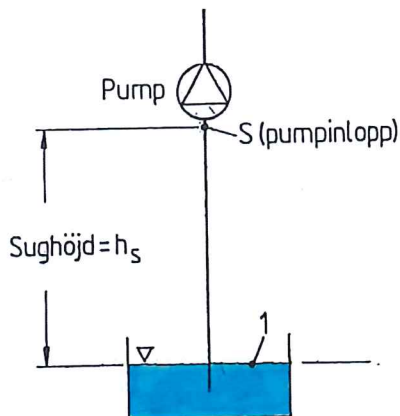
Vattenhastigheten i sugledningen 2 m/s

Total rörförlustfaktor i sugledningen är $(f_D^L + \sum K_L) = 3$

Atmosfärtryck 0.983 bar.

Antag att 1 bar motsvarar normalt lufttryck.

Ledning: se figuren nedan.



Formelblad - Strömningsslära FY302G

Energiekvationen:

$$\frac{p_1}{\rho g} + \alpha_1 \frac{v_1^2}{2g} + z_1 + h_{\text{pump},u} = \frac{p_2}{\rho g} + \alpha_2 \frac{v_2^2}{2g} + z_2 + h_{\text{turbin},e} + h_L$$

Energiekvationen (KK beteckning):

$$\frac{p_1}{\rho g} + \alpha_1 \frac{v_1^2}{2g} + z_1 + h_p = \frac{p_2}{\rho g} + \alpha_2 \frac{v_2^2}{2g} + z_2 + h_L$$

Bernoullis ekvation: $p_1 + \frac{\rho v_1^2}{2} + \rho g z_1 = p_2 + \frac{\rho v_2^2}{2} + \rho g z_2$

Pumpeffekt: $\eta_{\text{pump}} \dot{W}_{\text{pump}} = \dot{m} g h_{\text{pump}}$

Pumpeffekt (KK): $\eta_p \dot{W}_p = \dot{m} g h_p = \rho \dot{V} g h_p \equiv \dot{V} \Delta p_p = v_{\text{avg}} A_c \Delta p_p$

Kontinuitet volymsflöde: $\dot{V} = v_1 A_1 = v_2 A_2$

Hydrauliska diametern: $D_h = \frac{4A_c}{p}$ $D_h = \frac{2ab}{a+b}$ rektangulärt

Reynolds tal: $\text{Re} = \frac{\rho v D}{\mu} = \frac{v D}{\nu}$ $\begin{cases} \text{Re} < 2300 & \text{laminärt} \\ \text{Re} > 4000 & \text{turbulent} \end{cases}$

Total höjdförlust i rör: $h_L = \left(f \frac{L}{D} + \sum K_L \right) \frac{v^2}{2g}$

Flöde horisontellt cirkulärt rör: $\dot{V} = \frac{(p_1 - p_2) \pi D^4}{128 \mu L}$

Tryckförlust i rör: $\Delta p_L = \rho g h_L$

Frikionskoefficient f vid laminär strömning (cirkulärt rör):

$$f = 64/\text{Re}$$

Frikionskoefficient f vid turbulent strömning:

i) Moody: A-27

ii) Colebrook: $\frac{1}{\sqrt{f}} = -2 \log \left(\frac{\epsilon/D}{3.7} + \frac{2.51}{\text{Re} \sqrt{f}} \right)$

iii) Haaland: $\frac{1}{\sqrt{f}} \approx -1.8 \log \left[\frac{6.9}{\text{Re}} + \left(\frac{\epsilon/D}{3.7} \right)^{1.11} \right]$

TABLE A-15

Properties of saturated water

Temp. <i>T</i> , °C	<i>P_{sat}</i> , kPa	Saturation Pressure		Density <i>p</i> , kg/m ³		Enthalpy of Vaporization		Specific Heat <i>c_p</i> , J/kg·K		Thermal Conductivity <i>k</i> , W/m·K		Dynamic Viscosity <i>μ</i> , kg/m·s		Prandtl Number Pr		Volume Expansion Coefficient <i>β</i> , 1/K	
		Liquid	Vapor	<i>h_{fg}</i> , kJ/kg	Liquid	Vapor	Liquid	Vapor	Liquid	Vapor	Liquid	Vapor	Liquid	Vapor	Liquid	Vapor	Liquid
0.01	0.6113	999.8	0.0048	2501	4217	1854	0.561	0.0171	1.792 × 10 ⁻³	0.922 × 10 ⁻⁵	13.5	1.00	-0.068 × 10 ⁻³				
5	0.8721	999.9	0.0068	2490	4205	1857	0.571	0.0173	1.519 × 10 ⁻³	0.934 × 10 ⁻⁵	11.2	1.00	0.015 × 10 ⁻³				
10	1.2276	999.7	0.0094	2478	4194	1862	0.580	0.0176	1.307 × 10 ⁻³	0.946 × 10 ⁻⁵	9.45	1.00	0.733 × 10 ⁻³				
15	1.7051	999.1	0.0128	2466	4185	1863	0.589	0.0179	1.138 × 10 ⁻³	0.959 × 10 ⁻⁵	8.09	1.00	0.138 × 10 ⁻³				
20	2.339	998.0	0.0173	2454	4182	1867	0.598	0.0182	1.002 × 10 ⁻³	0.973 × 10 ⁻⁵	7.01	1.00	0.195 × 10 ⁻³				
25	3.169	997.0	0.0231	2442	4180	1870	0.607	0.0186	0.891 × 10 ⁻³	0.987 × 10 ⁻⁵	6.14	1.00	0.247 × 10 ⁻³				
30	4.246	996.0	0.0304	2431	4178	1875	0.615	0.0189	0.798 × 10 ⁻³	1.001 × 10 ⁻⁵	5.42	1.00	0.294 × 10 ⁻³				
35	5.628	994.0	0.0397	2419	4178	1880	0.623	0.0192	0.720 × 10 ⁻³	1.016 × 10 ⁻⁵	4.83	1.00	0.337 × 10 ⁻³				
40	7.384	992.1	0.0512	2407	4179	1885	0.631	0.0196	0.653 × 10 ⁻³	1.031 × 10 ⁻⁵	4.32	1.00	0.377 × 10 ⁻³				
45	9.593	990.1	0.0655	2395	4180	1892	0.637	0.0200	0.596 × 10 ⁻³	1.046 × 10 ⁻⁵	3.91	1.00	0.415 × 10 ⁻³				
50	12.35	988.1	0.0831	2383	4181	1900	0.644	0.0204	0.547 × 10 ⁻³	1.062 × 10 ⁻⁵	3.55	1.00	0.451 × 10 ⁻³				
55	15.76	985.2	0.1045	2371	4183	1908	0.649	0.0208	0.504 × 10 ⁻³	1.077 × 10 ⁻⁵	3.25	1.00	0.484 × 10 ⁻³				
60	19.94	983.3	0.1304	2359	4185	1916	0.654	0.0212	0.467 × 10 ⁻³	1.093 × 10 ⁻⁵	2.99	1.00	0.517 × 10 ⁻³				
65	25.03	980.4	0.1614	2346	4187	1926	0.659	0.0216	0.433 × 10 ⁻³	1.110 × 10 ⁻⁵	2.75	1.00	0.548 × 10 ⁻³				
70	31.19	977.5	0.1983	2334	4190	1936	0.663	0.0221	0.404 × 10 ⁻³	1.126 × 10 ⁻⁵	2.55	1.00	0.578 × 10 ⁻³				
75	38.58	974.7	0.2421	2321	4193	1948	0.667	0.0225	0.378 × 10 ⁻³	1.142 × 10 ⁻⁵	2.38	1.00	0.607 × 10 ⁻³				
80	47.39	971.8	0.2935	2309	4197	1962	0.670	0.0230	0.355 × 10 ⁻³	1.159 × 10 ⁻⁵	2.22	1.00	0.653 × 10 ⁻³				
85	57.83	968.1	0.3536	2296	4201	1977	0.673	0.0235	0.333 × 10 ⁻³	1.176 × 10 ⁻⁵	2.08	1.00	0.670 × 10 ⁻³				
90	70.14	965.3	0.4235	2283	4206	1993	0.675	0.0240	0.315 × 10 ⁻³	1.193 × 10 ⁻⁵	1.96	1.00	0.702 × 10 ⁻³				
95	84.55	961.5	0.5045	2270	4212	2010	0.677	0.0246	0.297 × 10 ⁻³	1.210 × 10 ⁻⁵	1.85	1.00	0.716 × 10 ⁻³				
100	101.33	957.9	0.5978	2257	4217	2029	0.679	0.0251	0.282 × 10 ⁻³	1.227 × 10 ⁻⁵	1.75	1.00	0.750 × 10 ⁻³				
110	143.27	950.6	0.8263	2230	4229	2071	0.682	0.0262	0.255 × 10 ⁻³	1.261 × 10 ⁻⁵	1.58	1.00	0.798 × 10 ⁻³				
120	198.53	943.4	1.121	2203	4244	2120	0.683	0.0275	0.232 × 10 ⁻³	1.296 × 10 ⁻⁵	1.44	1.00	0.858 × 10 ⁻³				
130	270.1	934.6	1.496	2174	4263	2177	0.684	0.0288	0.213 × 10 ⁻³	1.330 × 10 ⁻⁵	1.33	1.01	0.913 × 10 ⁻³				
140	361.3	921.7	1.965	2145	4286	2244	0.683	0.0301	0.197 × 10 ⁻³	1.365 × 10 ⁻⁵	1.24	1.02	0.970 × 10 ⁻³				
150	475.8	916.6	2.546	2114	4311	2314	0.682	0.0316	0.183 × 10 ⁻³	1.399 × 10 ⁻⁵	1.16	1.02	1.025 × 10 ⁻³				
160	617.8	907.4	3.256	2083	4340	2420	0.680	0.0331	0.170 × 10 ⁻³	1.434 × 10 ⁻⁵	1.09	1.05	1.145 × 10 ⁻³				
170	791.7	897.7	4.119	2050	4370	2490	0.677	0.0347	0.160 × 10 ⁻³	1.468 × 10 ⁻⁵	1.03	1.05	1.178 × 10 ⁻³				
180	1,002.1	887.3	5.153	2015	4410	2590	0.673	0.0364	0.150 × 10 ⁻³	1.502 × 10 ⁻⁵	0.983	1.07	1.210 × 10 ⁻³				
190	1,254.4	876.4	6.388	1979	4460	2710	0.669	0.0382	0.142 × 10 ⁻³	1.537 × 10 ⁻⁵	0.947	1.09	1.280 × 10 ⁻³				
200	1,553.8	864.3	7.852	1941	4500	2840	0.663	0.0401	0.134 × 10 ⁻³	1.571 × 10 ⁻⁵	0.910	1.11	1.350 × 10 ⁻³				
220	2,318	840.3	11.60	1859	4610	3110	0.650	0.0442	0.122 × 10 ⁻³	1.641 × 10 ⁻⁵	0.865	1.15	1.520 × 10 ⁻³				
240	3,344	813.7	16.73	1767	4760	3520	0.632	0.0487	0.111 × 10 ⁻³	1.712 × 10 ⁻⁵	0.836	1.24	1.720 × 10 ⁻³				
260	4,688	783.7	23.69	1663	4970	4070	0.609	0.0540	0.102 × 10 ⁻³	1.788 × 10 ⁻⁵	0.832	1.35	2.000 × 10 ⁻³				
280	6,412	750.8	33.15	1544	5280	4835	0.581	0.0605	0.094 × 10 ⁻³	1.870 × 10 ⁻⁵	0.854	1.49	2.380 × 10 ⁻³				
300	8,581	713.8	46.15	1405	5750	5980	0.548	0.0695	0.086 × 10 ⁻³	1.965 × 10 ⁻⁵	0.902	1.69	2.950 × 10 ⁻³				
320	11,274	667.1	64.57	1239	6540	7900	0.509	0.0836	0.078 × 10 ⁻³	2.084 × 10 ⁻⁵	1.00	1.97					
340	14,586	610.5	92.62	1028	8240	11,870	0.469	0.110	0.070 × 10 ⁻³	2.255 × 10 ⁻⁵	1.23	2.43					
360	18,651	528.3	144.0	720	14,690	25,800	0.427	0.178	0.060 × 10 ⁻³	2.571 × 10 ⁻⁵	2.06	3.73					
374.14	22,090	317.0	317.0	0	—	—	—	—	0.043 × 10 ⁻³	4.313 × 10 ⁻⁵							

Note 1: Kinematic viscosity ν and thermal diffusivity α can be calculated from their definitions, $\nu = \mu/p$ and $\alpha = k/\rho c_p = \nu/\text{Pr}$. The temperatures 0.01°C, 100°C, and 374.14°C are the triple-, boiling-, and critical-point temperatures of water, respectively. The properties listed above (except the vapor density) can be used at any pressure with negligible error except at temperatures near the critical-point value.

Note 2: The unit kJ/kg·°C for specific heat is equivalent to kJ/kg·K, and the unit W/m·°C for thermal conductivity is equivalent to W/m·K.

Source: Viscosity and thermal conductivity data are from J. V. Sengers and J. T. R. Watson, *Journal of Physical and Chemical Reference Data* 15 (1986), pp. 1291–1322. Other data are obtained from various sources or calculated.

TABLE A-17

Properties of saturated ammonia

Temp., °C	Pressure, P, kPa	Saturation Density ρ, kg/m³		Enthalpy of Vaporization hfg, kJ/kg		Specific Heat cp, J/kg·K		Thermal Conductivity k, W/m·K		Dynamic Viscosity μ, kg/m·s		Prandtl Number Pr		Volume Expansion Coefficient β, 1/K		Surface Tension, N/m	
		Liquid	Vapor	Liquid	Vapor	Liquid	Vapor	Liquid	Vapor	Liquid	Vapor	Liquid	Vapor	Liquid	Vapor	Liquid	Vapor
-40	71.66	690.2	0.6435	1389	4414	2242	—	0.01792	2.926 × 10⁻⁴	7.957 × 10⁻⁶	—	0.9955	0.00176	0.03565			
-30	119.4	677.8	1.037	1360	4465	2322	—	0.01898	2.630 × 10⁻⁴	8.311 × 10⁻⁶	—	1.017	0.00185	0.03341			
-25	151.5	671.5	1.296	1345	4489	2369	0.5968	0.01957	2.492 × 10⁻⁴	8.490 × 10⁻⁶	1.875	1.028	0.00190	0.03229			
-20	190.1	665.1	1.603	1329	4514	2420	0.5853	0.02015	2.361 × 10⁻⁴	8.669 × 10⁻⁶	1.821	1.041	0.00194	0.03118			
-15	236.2	658.6	1.966	1313	4538	2476	0.5737	0.02075	2.236 × 10⁻⁴	8.851 × 10⁻⁶	1.769	1.056	0.00199	0.03007			
-10	290.8	652.1	2.391	1297	4564	2536	0.5621	0.02138	2.117 × 10⁻⁴	9.034 × 10⁻⁶	1.718	1.072	0.00205	0.02896			
-5	354.9	645.4	2.886	1280	4589	2601	0.5505	0.02203	2.003 × 10⁻⁴	9.218 × 10⁻⁶	1.670	1.089	0.00210	0.02786			
0	429.6	638.6	3.458	1262	4617	2672	0.5390	0.02270	1.896 × 10⁻⁴	9.405 × 10⁻⁶	1.624	1.107	0.00216	0.02676			
5	516	631.7	4.116	1244	4645	2749	0.5274	0.02341	1.794 × 10⁻⁴	9.593 × 10⁻⁶	1.580	1.126	0.00223	0.02566			
10	615.3	624.6	4.870	1226	4676	2831	0.5158	0.02415	1.697 × 10⁻⁴	9.784 × 10⁻⁶	1.539	1.147	0.00230	0.02457			
15	728.8	617.5	5.729	1206	4709	2920	0.5042	0.02492	1.606 × 10⁻⁴	9.978 × 10⁻⁶	1.500	1.169	0.00237	0.02348			
20	857.8	610.2	6.705	1186	4745	3016	0.4927	0.02573	1.519 × 10⁻⁴	1.017 × 10⁻⁵	1.463	1.193	0.00245	0.02240			
25	1003	602.8	7.809	1166	4784	3120	0.4811	0.02658	1.438 × 10⁻⁴	1.037 × 10⁻⁵	1.430	1.218	0.00254	0.02132			
30	1167	595.2	9.055	1144	4828	3232	0.4695	0.02748	1.361 × 10⁻⁴	1.057 × 10⁻⁵	1.399	1.244	0.00264	0.02024			
35	1351	587.4	10.46	1122	4877	3354	0.4579	0.02843	1.288 × 10⁻⁴	1.078 × 10⁻⁵	1.372	1.272	0.00275	0.01917			
40	1555	579.4	12.03	1099	4932	3486	0.4464	0.02943	1.219 × 10⁻⁴	1.099 × 10⁻⁵	1.347	1.303	0.00287	0.01810			
45	1782	571.3	13.8	1075	4993	3631	0.4348	0.03049	1.155 × 10⁻⁴	1.121 × 10⁻⁵	1.327	1.335	0.00301	0.01704			
50	2033	562.9	15.78	1051	5063	3790	0.4232	0.03162	1.094 × 10⁻⁴	1.143 × 10⁻⁵	1.310	1.371	0.00316	0.01598			
55	2310	554.2	18.00	1025	5143	3967	0.4116	0.03283	1.037 × 10⁻⁴	1.166 × 10⁻⁵	1.297	1.409	0.00334	0.01493			
60	2614	545.2	20.48	997.4	5234	4163	0.4001	0.03412	9.846 × 10⁻⁵	1.189 × 10⁻⁵	1.288	1.452	0.00354	0.01389			
65	2948	536.0	23.26	968.9	5340	4384	0.3885	0.03550	9.347 × 10⁻⁵	1.213 × 10⁻⁵	1.285	1.499	0.00377	0.01285			
70	3312	526.3	26.39	939.0	5463	4634	0.3769	0.03700	8.879 × 10⁻⁵	1.238 × 10⁻⁵	1.287	1.551	0.00404	0.01181			
75	3709	516.2	29.90	907.5	5608	4923	0.3653	0.03862	8.440 × 10⁻⁵	1.264 × 10⁻⁵	1.296	1.612	0.00436	0.01079			
80	4141	505.7	33.87	874.1	5780	5260	0.3538	0.04038	8.030 × 10⁻⁵	1.292 × 10⁻⁵	1.312	1.683	0.00474	0.00977			
85	4609	494.5	38.36	838.6	5988	5659	0.3422	0.04232	7.646 × 10⁻⁵	1.322 × 10⁻⁵	1.338	1.768	0.00521	0.00876			
90	5116	482.8	43.48	800.6	6242	6142	0.3306	0.04447	7.284 × 10⁻⁵	1.354 × 10⁻⁵	1.375	1.871	0.00579	0.00776			
95	5665	470.2	49.35	759.8	6561	6740	0.3190	0.04687	6.946 × 10⁻⁵	1.389 × 10⁻⁵	1.429	1.999	0.00652	0.00677			
100	6257	456.6	56.15	715.5	6972	7503	0.3075	0.04958	6.628 × 10⁻⁵	1.429 × 10⁻⁵	1.503	2.163	0.00749	0.00579			

Note 1: Kinematic viscosity ν and thermal diffusivity α can be calculated from their definitions, $\nu = \mu/\rho$ and $\alpha = k/c_p = \nu/\text{Pr}$. The properties listed here (except the vapor density) can be used at any pressures with negligible error except at temperatures near the critical-point value.

Note 2: The unit kJ/kg·°C for specific heat is equivalent to J/kg·K, and the unit W/m·°C for thermal conductivity is equivalent to W/m·K.

Source: Data generated from the EES software developed by S. A. Klein and F. L. Alvarado. Original sources: Tillner-Roth, Harms-Watzenberg, and Baehr, "Eine neue Fundamentalgleichung für Ammoniak," DKV-Tagungsbericht 20:167–181, 1993; Liley and Desai, "Thermophysical Properties of Refrigerants," ASHRAE, 1993, ISBN 1-1883413-10-9.

TABLE A-22

Properties of air at 1 atm pressure

Temp. <i>T</i> , °C	Density <i>p</i> , kg/m ³	Specific Heat <i>c_p</i> , J/kg·K	Thermal Conductivity <i>k</i> , W/m·K	Thermal Diffusivity <i>α</i> , m ² /s	Dynamic Viscosity <i>μ</i> , kg/m·s	Kinematic Viscosity <i>ν</i> , m ² /s	Prandtl Number Pr
-150	2.866	983	0.01171	4.158×10^{-6}	8.636×10^{-6}	3.013×10^{-6}	0.7246
-100	2.038	966	0.01582	8.036×10^{-6}	1.189×10^{-5}	5.837×10^{-6}	0.7263
-50	1.582	999	0.01979	1.252×10^{-5}	1.474×10^{-5}	9.319×10^{-6}	0.7440
-40	1.514	1002	0.02057	1.356×10^{-5}	1.527×10^{-5}	1.008×10^{-5}	0.7436
-30	1.451	1004	0.02134	1.465×10^{-5}	1.579×10^{-5}	1.087×10^{-5}	0.7425
-20	1.394	1005	0.02211	1.578×10^{-5}	1.630×10^{-5}	1.169×10^{-5}	0.7408
-10	1.341	1006	0.02288	1.696×10^{-5}	1.680×10^{-5}	1.252×10^{-5}	0.7387
0	1.292	1006	0.02364	1.818×10^{-5}	1.729×10^{-5}	1.338×10^{-5}	0.7362
5	1.269	1006	0.02401	1.880×10^{-5}	1.754×10^{-5}	1.382×10^{-5}	0.7350
10	1.246	1006	0.02439	1.944×10^{-5}	1.778×10^{-5}	1.426×10^{-5}	0.7336
15	1.225	1007	0.02476	2.009×10^{-5}	1.802×10^{-5}	1.470×10^{-5}	0.7323
20	1.204	1007	0.02514	2.074×10^{-5}	1.825×10^{-5}	1.516×10^{-5}	0.7309
25	1.184	1007	0.02551	2.141×10^{-5}	1.849×10^{-5}	1.562×10^{-5}	0.7296
30	1.164	1007	0.02588	2.208×10^{-5}	1.872×10^{-5}	1.608×10^{-5}	0.7282
35	1.145	1007	0.02625	2.277×10^{-5}	1.895×10^{-5}	1.655×10^{-5}	0.7268
40	1.127	1007	0.02662	2.346×10^{-5}	1.918×10^{-5}	1.702×10^{-5}	0.7255
45	1.109	1007	0.02699	2.416×10^{-5}	1.941×10^{-5}	1.750×10^{-5}	0.7241
50	1.092	1007	0.02735	2.487×10^{-5}	1.963×10^{-5}	1.798×10^{-5}	0.7228
60	1.059	1007	0.02808	2.632×10^{-5}	2.008×10^{-5}	1.896×10^{-5}	0.7202
70	1.028	1007	0.02881	2.780×10^{-5}	2.052×10^{-5}	1.995×10^{-5}	0.7177
80	0.9994	1008	0.02953	2.931×10^{-5}	2.096×10^{-5}	2.097×10^{-5}	0.7154
90	0.9718	1008	0.03024	3.086×10^{-5}	2.139×10^{-5}	2.201×10^{-5}	0.7132
100	0.9458	1009	0.03095	3.243×10^{-5}	2.181×10^{-5}	2.306×10^{-5}	0.7111
120	0.8977	1011	0.03235	3.565×10^{-5}	2.264×10^{-5}	2.522×10^{-5}	0.7073
140	0.8542	1013	0.03374	3.898×10^{-5}	2.345×10^{-5}	2.745×10^{-5}	0.7041
160	0.8148	1016	0.03511	4.241×10^{-5}	2.420×10^{-5}	2.975×10^{-5}	0.7014
180	0.7788	1019	0.03646	4.593×10^{-5}	2.504×10^{-5}	3.212×10^{-5}	0.6992
200	0.7459	1023	0.03779	4.954×10^{-5}	2.577×10^{-5}	3.455×10^{-5}	0.6974
250	0.6746	1033	0.04104	5.890×10^{-5}	2.760×10^{-5}	4.091×10^{-5}	0.6946
300	0.6158	1044	0.04418	6.871×10^{-5}	2.934×10^{-5}	4.765×10^{-5}	0.6935
350	0.5664	1056	0.04721	7.892×10^{-5}	3.101×10^{-5}	5.475×10^{-5}	0.6937
400	0.5243	1069	0.05015	8.951×10^{-5}	3.261×10^{-5}	6.219×10^{-5}	0.6948
450	0.4880	1081	0.05298	1.004×10^{-4}	3.415×10^{-5}	6.997×10^{-5}	0.6965
500	0.4565	1093	0.05572	1.117×10^{-4}	3.563×10^{-5}	7.806×10^{-5}	0.6986
600	0.4042	1115	0.06093	1.352×10^{-4}	3.846×10^{-5}	9.515×10^{-5}	0.7037
700	0.3627	1135	0.06581	1.598×10^{-4}	4.111×10^{-5}	1.133×10^{-4}	0.7092
800	0.3289	1153	0.07037	1.855×10^{-4}	4.362×10^{-5}	1.326×10^{-4}	0.7149
900	0.3008	1169	0.07465	2.122×10^{-4}	4.600×10^{-5}	1.529×10^{-4}	0.7206
1000	0.2772	1184	0.07868	2.398×10^{-4}	4.826×10^{-5}	1.741×10^{-4}	0.7260
1500	0.1990	1234	0.09599	3.908×10^{-4}	5.817×10^{-5}	2.922×10^{-4}	0.7478
2000	0.1553	1264	0.11113	5.664×10^{-4}	6.630×10^{-5}	4.270×10^{-4}	0.7539

Note: For ideal gases, the properties c_p , k , μ , and Pr are independent of pressure. The properties p , ν , and α at a pressure P (in atm) other than 1 atm are determined by multiplying the values of p at the given temperature by P and by dividing ν and α by P .

Source: Data generated from the EES software developed by S. A. Klein and F. L. Alvarado. Original sources: Keenan, Chao, Keyes, Gas Tables, Wiley, 1984; and Thermophysical Properties of Matter, Vol. 3: Thermal Conductivity, Y. S. Touloukian, P. E. Liley, S. C. Saxena, Vol. 11: Viscosity, Y. S. Touloukian, S. C. Saxena, and P. Hestermanns, IFI/Plenum, NY, 1970, ISBN 0-306067020-8.